

# بررسی راندمان جاذب مگنتیک اکسید آهن در حذف رنگ نساجی Navy Blue CE-RN از محلول‌های آبی<sup>۵</sup>

ابوذر رضایی<sup>۱</sup>، محمد کامرانی فر<sup>۲</sup>، سولماز ذبیح‌الهی<sup>۳</sup>، هادی رحیمی<sup>۴</sup>، حمیدرضا پورزمانی<sup>۵</sup>

## مقاله پژوهشی

### چکیده

**مقدمه:** فاضلاب صنایع نساجی از عمدۀ ترین آلاینده‌های محیط زیست محسوب می‌شود. Navy Blue CE-RN (NB) یک رنگ شیمیایی مهم و پرکاربرد در صنایع نساجی می‌باشد. با توجه به کارایی فرایند جذب در حذف رنگ، مطالعه حاضر با هدف بررسی حذف رنگ نساجی NB از محلول‌های آبی توسط جاذب مگنتیک اکسید آهن انجام گرفت.

**روش‌ها:** این تحقیق بر روی فاضلاب صنعتیک با غلظت رنگ ۵۰ میلی گرم بر لیتر می‌باشد. تأثیر متغیرهای مختلفی مانند زمان تماس، pH محلول و دوز جاذب مورد ارزیابی قرار گرفت. پس از فرایند حذف رنگ توسط جاذب مگنتیک اکسید آهن، برای جداسازی آن از محلول آبی، از دستگاه سانتریفوژ استفاده گردید. جهت تعیین میزان حذف رنگ، دستگاه DR-5000 و آزمایش COD (Chemical oxygen demand) مورد استفاده قرار گرفت. برای تعیین ابعاد جاذب نیز از تصویر تهیه شده با دستگاه میکروسکوپ الکترونی پوششی (SEM) Scanning electron microscope یا اسفلاده شد.

**یافته‌ها:** میزان حذف رنگ NB با افزایش زمان تماس از ۱ به ۲۰ دقیقه، راندمان حذف را از ۷۴/۰ به ۸۰/۴ درصد افزایش داد. تغییرات pH محلول از محدوده اسیدی به قلیایی حاکی از آن بود که بیشترین حذف در ۶ pH صورت گرفت. با افزایش جرم جاذب از ۱ به ۴ گرم بر لیتر، راندمان حذف رنگ از ۹۳/۱ به ۷۳/۱ درصد افزایش یافت. همچنین، طبق یافته‌های به دست آمده، راندمان حذف COD برابر با ۷۸/۴ درصد و ظرفیت جذب برابر با ۱۱/۸ میلی گرم بر گرم بود.

**نتیجه‌گیری:** در این آزمایش، تأثیر متغیرهایی مانند زمان تماس، pH محلول و مقدار ماده جاذب بررسی شد و مشخص گردید که حذف رنگ در زمان تماس ۲۱۰ دقیقه، pH = ۶ و دوز جاذب ۴ گرم بر لیتر حداقل راندمان را دارد. همچنین، نتایج پژوهش حاضر نشان داد که جاذب مگنتیک اکسید آهن استفاده شده در تحقیق می‌تواند به عنوان روش قابل قبولی با کارایی بالا برای حذف رنگ نساجی NB به کار رود.

**واژه‌های کلیدی:** جاذب مگنتیک، حذف رنگ، محلول آبی

**ارجاع:** رضایی ابوذر، کامرانی فر محمد، ذبیح‌الهی سولماز، رحیمی هادی، پورزمانی حمیدرضا. بررسی راندمان جاذب مگنتیک اکسید آهن در حذف رنگ نساجی Navy Blue CE-RN از محلول‌های آبی. مجله تحقیقات نظام سلامت (۱۲؛ ۱۳۹۵: ۴۶-۴۹).

پذیرش مقاله: ۱۳۹۴/۹/۱۵

دریافت مقاله: ۱۳۹۳/۱۰/۱۱

### مقدمه

در سال‌های اخیر آگاهی مردم به محیط زیست و مخاطرات ناشی از آلاینده‌های صنعتی گسترش زیادی یافته است (۱). یکی از آلاینده‌ها فاضلاب رنگی می‌باشد که در صنایع مختلفی مانند رنگرزی و نساجی، داروسازی، آرایشی و بهداشتی، کاغذ سازی و... تولید می‌شود (۲). صنایع نساجی به علت تنوع رنگ مصرفی و روش‌های تولید، پساب‌هایی با کمیت و کیفیت متفاوت تولید می‌کنند (۳). فاضلاب این صنایع از عمدۀ ترین آلاینده‌های محیط زیست محسوب می‌شوند که به طور معمول حاوی رنگ، دمای بالا، جامدات محلول بالا، اکسیژن مورد نیاز شیمیایی (COD) یا Chemical oxygen demand (BOD) و در مقایعی دارای خاصیت قلیایی می‌باشد. وجود این رنگ‌ها در پساب، مانع عبور نور

شده، فعالیت فتوسنتزیکی را مختل می‌کند و مانع رشد موجودات زنده می‌گردد (۴). همچنین، تخلیه فاضلاب‌های رنگی در آب منجر به پدیده اوتوفیکاسیون و تداخل در اکولوژی آب‌های پذیرنده می‌شود (۵). این ترکیبات از نظر زیباشناسخی، بر کیفیت آب اثر منفی دارند و سبب بروز آلرژی، درماتیت، تحریک پوستی، سرطان و نیز جهش‌های ژنتیکی در انسان می‌شوند (۶-۸). امروزه ارزیابی فناوری‌ها به منظور دستیابی به روش‌های مناسب‌تر، اینمن‌تر و ارزان‌تر جهت حذف آلاینده‌ها از پساب‌های صنعتی اهمیت دارد (۹). از جمله روش‌های موجود برای حذف رنگ می‌توان به روش هضم هوایی و بی‌هوایی، انقاد، اکسیداسیون پیش‌رفته، فرایندهای شیمیایی و بیوشیمیایی، جذب سطحی و تصفیه غشایی اشاره کرد (۱۰، ۱۱). اکثر رنگ‌های مورد استفاده صنایع نساجی به دلیل ایجاد

- دانشجویی کارشناسی، کمیته تحقیقات دانشجویی، گروه مهندسی بهداشت محیط، دانشکده بهداشت، دانشگاه علوم پزشکی اصفهان، اصفهان، ایران
- دانشجویی کارشناسی ارشد، گروه مهندسی بهداشت محیط، دانشکده بهداشت، دانشگاه علوم پزشکی بیرون، بیرون، ایران
- دانشجویی کارشناس ارشد، کمیته تحقیقات دانشجویی، گروه مهندسی بهداشت محیط، دانشگاه علوم پزشکی اصفهان، اصفهان، ایران
- شرکت نانو نوآوران سپاهان، اصفهان، ایران
- دانشیار، مرکز تحقیقات محیط زیست، پژوهشکده پیشگیری از بیماری‌های غیر واگیر و گروه مهندسی بهداشت، دانشگاه علوم پزشکی اصفهان، اصفهان، ایران

نویسنده مسؤول: دکتر حمیدرضا پورزمانی  
Email: pourzamani@hlth.mui.ac.ir

چگونگی اثر پارامترهای مورد مطالعه شامل زمان تماس، pH و دوز جاذب بررسی شد. با توجه به تجربیات صورت گرفته، حجم محلول‌های آزمایش (۱۰۰ CC) در اrlen‌های ۲۵۰ ml انجام شد. اندازه ذرات جاذب و دما (۲۵° C) در تمامی مراحل آزمایش ثابت بود (۶).

زمان تماس بهینه: در این آزمایش برای بررسی زمان تماس از دستگاه شیکر OS ۶۲۵ (Orbital shaker, OS ۶۲۵) با سرعت اختلال ۲۵۰ rpm استفاده گردید. جهت تعیین زمان تماس بهینه، آزمایش جذب با افزودن ۱ g/l ۱۰-۳۳۰ دقیقه مورد بررسی قرار گرفت. پس از فرایند حذف، به منظور حذف جاذب از محلول آبی، حجم ۴۰ ml توسط پیپت برداشته شد و در ساتریفیوژ (LTD scientific centurion, 1020D.E) با دور ۶۰۰۰ rpm (LTD scientific centurion, 1020D.E) در ۱۵ دقیقه استفاده گردید و در نهایت برای تعیین میزان حذف رنگ از آزمایش COD و همچنین، از دستگاه اسپکتروفوتومتر DR-5000 (در طول موج ۴۷۳ nm) استفاده شد.

pH بهینه جذب رنگ: پس از تعیین زمان تماس بهینه، آزمایش در pHهای ۲-۱۰ و با دوز جاذب ۱ g/l در محلول رنگی ۵۰ mg/l انجام شد. جهت تغییرات pH از محلول HCl و NaOH ۱/۱ مولار استفاده گردید و برای تعیین pH محلول رنگی از pHmetr (SCHOTT, CG824., Germany) استفاده شد. در ادامه برای حذف جاذب و تعیین میزان حذف رنگ مانند مرحله قبل عمل گردید.

دوز بهینه جاذب: پس از تعیین زمان تماس و pH بهینه با ثابت نگه داشتن مقادیر آنها و همچنین محلول رنگی ۵۰ mg/l، دوز جاذب در مقدار ۱-۲۵ g بررسی شد و برای تعیین مقدار حذف رنگ مانند مراحل قبل عمل گردید. لازم به ذکر است که برای تعیین راندمان حذف رنگ از رابطه ۱ و مقدار ظرفیت جذب از رابطه ۲ استفاده شد.

$$R (\%) = \frac{C_0 - C_e}{C_0} \times 100 \quad (1)$$

$$q_e = \frac{C_0 - C_e}{m} V \quad (2)$$

در رابطه ۱، R راندمان حذف رنگ (درصد)، C<sub>0</sub> غلظت اولیه رنگ (mg/g) و C<sub>e</sub> غلظت باقیمانده رنگ (mg/l) می‌باشد. همچنین در رابطه ۲، ظرفیت جذب رنگ (g)، m دوز جاذب (g)، V حجم نمونه (l) می‌باشد.

### یافته‌ها

جهت تعیین مشخصات ساختاری جاذب مگنتیک اکسید آهن با استفاده از میکروسکوپ الکترونی پویشی (Scanning electron microscope) می‌باشد. همچنین در رابطه ۲، SEM، متوسط اندازه این ذرات کمتر از ۵۰۰ nm تخمین زده شد (شکل ۱).

### بررسی تاثیر زمان تماس بر کارایی جذب رنگ

نتایج مربوط به اثر زمان تماس (۱۰-۳۳۰ دقیقه) و غلظت ۵۰ mg/l در شکل ۲ نشان داده شده است. بیشترین مقدار حذف در مدت زمان ۲۱۰ دقیقه و کمترین مقدار آن در ۱۰ دقیقه اتفاق افتاده است.

کمپلکس‌های قوی، غیر قابل تجزیه بیولوژیکی بوده‌اند و فرایندهای متداول تصفیه از جمله انعقاد و لخته‌سازی، روش مؤثری برای حذف آن‌ها محسوب نمی‌گردد (۱۲). جذب سطحی یکی از روش‌های کارامد در حذف رنگ از فاضلاب‌های نساجی است که در آن از جاذب‌های متعدد نظری کربن فعال، الیاف خرما و کیتوزان... استفاده می‌گردد (۱۳). کربن فعال دارای ظرفیت جذب بسیار بالا و مساحت سطح زیاد می‌باشد، ولی مشکلاتی مثل گرانی و از دست رفتن ۱۰-۱۵ درصد آن به هنگام بازیابی برای استفاده آن وجود دارد (۱۴). امروزه استفاده از جاذب‌های کم قیمت می‌تواند یک ابزار خوب برای به حداقل رساندن هزینه اقتصادی ناشی از تصفیه فاضلاب‌های صنایع نساجی باشد (۱۵).

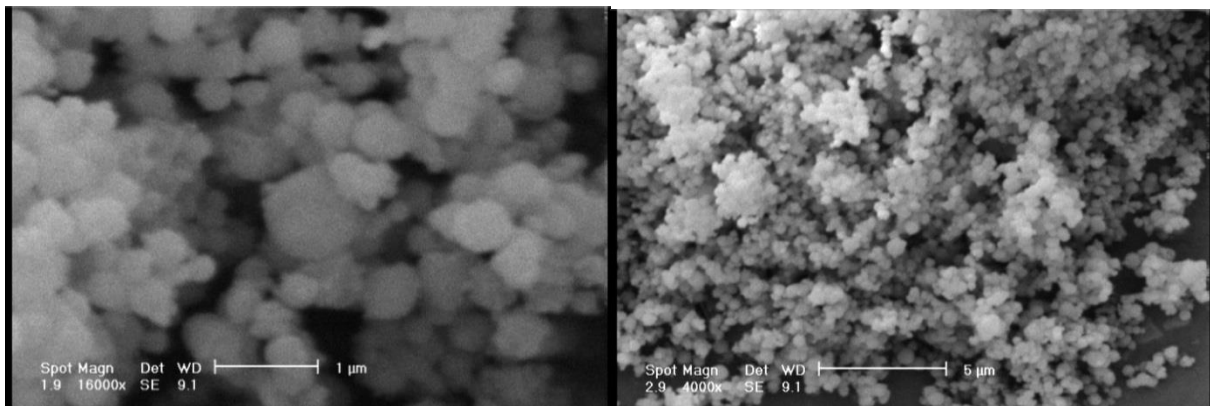
در تحقیق نورمدادی و همکاران که به منظور حذف رنگ (Navy Blue Ce-Rn) با استفاده از فرایند ترکیبی انعقاد و لخته‌سازی و به دنبال آن جذب با رس صورت گرفت، حذف این رنگ از آزمایش ۱۰ mg/l در pH ۶ استفاده از نانوشیت‌های اکسید نیکل توانستند بعد از ۶ ساعت (۶). در مطالعه سعادتجو و همکاران با گرفت و در pH ۶ اسیدی به طور کامل حذف نمایند (۱۶). در مطالعه سعادتجو و همکاران روی رنگ‌زایی بازیک قرمز ۴۶ با استفاده از جاذب تکه‌های سخت شده سیمان سفید پرتلند در غلظت اولیه رنگ ۱۰، ۱۵ ppm = ۱۰ g/l و دوز جاذب ۱۰ بعد از ۱۲۰ دقیقه، ۸۰ درصد حذف به دست آمد (۱۷). غنی‌زاده و عسگری با استفاده از ۱ g/l خاکستر استخوان، ۱۰۰ mg/l رنگ متیلن بلو را بعد از ۲ ساعت زمان تماس به طور کامل حذف نمودند (۵). در تحقیق Rocher و همکاران به منظور حذف رنگ‌های متیلن بلو و متیل اورانیت با استفاده از مهره‌های مغناطیسی آذینات در pH خنثی و زمان ۱۸۰ دقیقه، راندمان مناسب و قابل قبولی به دست آمد (۱۸). در تحقیق قانیان و همکاران جهت حذف رنگ راکتیو قرمز ۱۹۸ با نانوذرات دی اکسید تیتانیوم، مشاهده شد که جذب رنگ راکتیو ۱۹۸ در حد مطلوبی بوده است و کارایی این فرایند در pH اسیدی بیشتر می‌باشد (۱۳).

در سال‌های اخیر کاربرد جاذب‌های مختلفی برای حذف رنگ توسعه یافته است. جاذب مگنتیک اکسید آهن از جمله مواد نوینی است که به دلیل قابلیت جذب بالا می‌تواند به عنوان یک جاذب مناسب جهت حذف آلاینده‌های زیست محیطی مورد استفاده قرار گیرد. در این راستا مطالعه حاضر با هدف بررسی، امکان کاربرد جاذب مگنتیک اکسید آهن در حذف رنگ نساجی NB از محلول‌های آبی انجام شد که در آن تأثیر متغیرهای مختلفی مانند زمان تماس، pH محلول و دوز جاذب مورد ارزیابی قرار گرفت.

### روش‌ها

مطالعه حاضر، یک مطالعه بنیادی - کاربردی در مقیاس آزمایشگاهی بود که همه مواد شیمیایی آن از شرکت Merck آلمان و رنگ NB از شرکت Setapers ترکیه تهیه شد. جاذب مگنتیک مورد استفاده، یک جاذب سنتیک می‌باشد که مشکل از نانو ذرات اکسید آهن و مواد پرکننده است و به دلیل دارا بودن ترکیبات آهن دارای خاصیت مغناطیسی می‌باشد و با استفاده از یک میدان مغناطیسی خارجی جذب می‌شود.

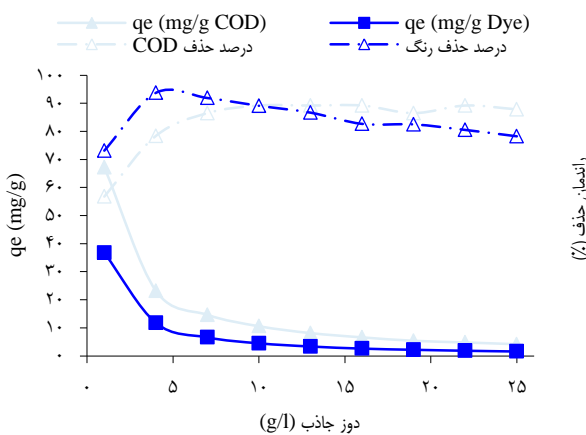
به منظور انجام تحقیق حاضر، آزمایش جذب در سیستم نایپوسته انجام گرفت و با استفاده از نمونه فاضلاب رنگی سنتیک با غلظت ۵۰ mg/l



شکل ۱. عکس میکروسکوپ الکترونی پویشی (SEM) ذرات جاذب مغنتیک اکسید آهن

### بررسی اثر دوز جاذب بر میزان جذب

جهت تعیین اثر دوز جاذب بر میزان جذب، آزمایش در زمان ماند بهینه ۲۱۰ و pH بهینه ۶ که از مراحل قبل به دست آمده بود، انجام شد و مقدار  $1\text{-}25\text{ g/l}$  از جاذب در تماس با غلظت  $50\text{ mg/l}$  از رنگ قرار داده شد. با افزایش دوز جاذب از  $1\text{ g/l}$  تا  $4\text{ g/l}$ ، راندمان حذف نیز افزایش یافت؛ به طوری که کمترین و بیشترین راندمان حذف به ترتیب در  $1\text{ g/l}$  و  $4\text{ g/l}$  بوده است (شکل ۴).

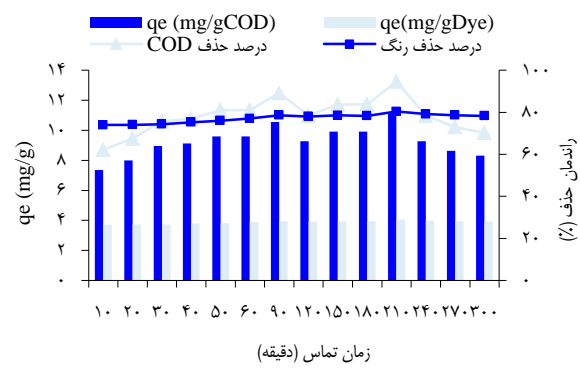


شکل ۴. تأثیر دوز جاذب بر میزان جذب رنگ

COD: Chemical oxygen demand

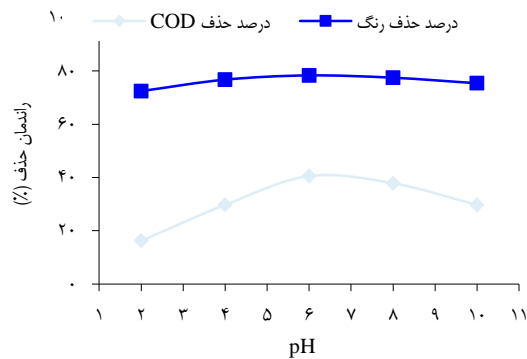
### بحث

در مهندسی شیمی و محیط زیست، زمان بهینه برای حذف آلاینده و دستیابی به مقادیر استاندارد اهمیت خاصی دارد. اغلب زمان بهینه به زمانی اطلاق می‌شود که آلاینده در حد مطلوبی حذف گردد (۲). نتایج حاصل از آزمایش‌ها نشان می‌دهد که با افزایش مدت تماس، مقدار جذب افزایش می‌یابد و به حدکش خود می‌رسد؛ به طوری که در زمان تماس  $210\text{ min}$  به  $80/4\text{ mg/l}$  درصد رسیده است و پس از آن کاهش یافته است (شکل ۲). جذب رنگ NB در دقایق اولیه با سرعت زیاد صورت گرفته است و با گذشت زمان تماس مقدار جذب کاهش می‌یابد، این امر

شکل ۲. تأثیر زمان تماس بر کارایی حذف رنگ  
COD: Chemical oxygen demand

### بررسی اثر pH بر میزان جذب رنگ

در شکل ۳ نتایج حاصل از تأثیر pH محلول بر کارایی حذف رنگ با تعییر pH محلول ( $2\text{-}10$ ) تحت شرایط ثابت و غلظت رنگ  $50\text{ mg/l}$ ، بعد از زمان تماس  $210$  دقیقه نشان داده شده است. بیشترین مقدار حذف در  $pH = 6$  صورت گرفته است.

شکل ۳. تأثیر pH بر کارایی حذف رنگ  
COD: Chemical oxygen demand

کارایی حذف رنگ حاصل نشده است، می‌توان استنباط کرد که میزان رنگ قابل جذب توسط جاذب به همان مقدار جذب شده تا دوز ۴ گرم از جاذب بوده است. به عبارتی، غلظت رنگ در محلول رنگی به حدی کم می‌شود که دیگر قابل جذب نیست. در این زمینه نتایج مشابه توسط شکوهی و همکاران (۲۱) به دست آمده است.

### نتیجه‌گیری

در این آزمایش تأثیر متغیرهای مانند زمان تماس، pH محلول و مقدار ماده جاذب بررسی شد. نتایج این مطالعه نشان داد که حذف رنگ در زمان تماس ۲۱۰ دقیقه و در  $pH = 6$  و دوز جاذب  $4\text{ g/l}$  حداقل راندمان را داشته است. همچنین، این پژوهش نشان داد که جاذب مگنتیک اکسید آهن می‌تواند به عنوان یک جاذب قابل قبول با کارایی بالا (۹۳٪ درصد) برای حذف رنگ نساجی NB به کار رود.

### تشکر و قدردانی

نویسندها این مقاله را خود لازم می‌دانند تا از گروه مهندسی بهداشت محیط و مرکز تحقیقات محیط زیست دانشگاه علوم پزشکی اصفهان برای همکاری در انجام پژوهه تحقیقاتی مذکور تشکر و قدردانی به عمل آورند. همچنین، از دانشگاه علوم پزشکی اصفهان به جهت تأمین هزینه‌های مالی و پژوهشکده صنعت نفت که با ساخت نانولله‌های کربنی بر اساس نیاز محققان، در انجام مطالعه حاضر همکاری نمودن، سپاسگزاری می‌گردد.

می‌تواند به دلیل کاهش غلظت رنگ NB محلول و کاهش نقاط فعال در سطح جاذب باشد. به طور کلی ظرفیت جذب با افزایش زمان تماس افزایش و در یک زمان مشخص ثابت می‌ماند و از آن زمان به بعد رنگ محلول حذف نمی‌گردد (۲۰). نتایج مشابه توسط Gulnaz و همکاران (۲۱) و Aksu (۲۲) به گزارش شده است (۲۲). مقدار pH محلول نقش مهمی در کل فرایند و ظرفیت جذب ایفا می‌نماید و نه تنها بار سطحی جاذب بلکه، درجه یونیزاسیون مواد موجود در محلول و تفکیک گروههای عاملی در مکان‌های فعل جاذب و همچنین، شیمی محلول را نیز تحت تأثیر قرار می‌دهد. در مطالعه حاضر بررسی اثر pH بر روی حذف رنگ NB مطابق شکل ۳ نشان می‌دهد که با افزایش pH از ۲ تا ۶ راندمان حذف افزایش (به ترتیب ۷۸٪، ۷۲٪، ۴۶٪ درصد) و سپس، کاهش می‌یابد. جذب کمتر رنگ در pH بالاتر ممکن است ناشی از فراوانی یون‌های  $\text{OH}^-$  و ایجاد نیتروی دافعه بین سطح دارای بار منفی و مولکول‌های آئیونی رنگ باشد. نتایج مشابه توسط Song و همکاران به دست آمده است (۱۶). همچنین، مطالعات نورمادی و همکاران (۶) تأیید کننده مطالعه حاضر می‌باشد.

در بررسی اثر مقدار جاذب بر کارایی حذف، مشاهده شد که با افزایش مقدار جاذب از ۱ تا ۴ گرم افزایش کارایی حذف حاصل نشده است، اما با افزایش جاذب از ۴ به ۲۵ گرم، در کارایی حذف تغییری حاصل نشده است. از طرفی، با افزایش مقدار جاذب میزان رنگ جذب شده در واحد جرم جاذب مگنتیک کاهش یافته است؛ چرا که افزایش میزان جاذب منجر به افزایش در جذب رنگ نمی‌گردد که به عدم بهره‌گیری از کل ظرفیت جاذب مرتبط می‌شود. همچنین، شاید به دلیل غیر اشباع ماندن برخی از نقاط فعال موجود در سطح جاذب، میزان جذب در واحد جرم جاذب کاهش یابد (۱۹). با توجه به این که تا دوز ۴ گرم، در کارایی حذف رنگ افزایش وجود داشته است و با وجود افزایش مقدار جاذب، افزایشی در

### References

- Hamzeh Y, Izadyar S, Azadeh E, Abyaz A, Asadollahi Y. Application of canola stalks waste as adsorbent of acid orange 7 from aqueous solution. *Iran J Health Environ* 2011; 4(1): 49-56.
- Samarghandi MR, Noori Sepehr M, Zarrabi M, Norouzi M, Amraie F. Mechanism and removal efficiency of C.I. acid blake 1 by pumice stone adsorbent. *Iran J Health Environ* 2011; 3(4): 399-410.
- Khalaf MA. Biosorption of reactive dye from textile wastewater by non-viable biomass of *aspergillus niger* and *spirogyra* sp. *Bioresour Technol* 2008; 99(14): 6631-4.
- Gholami M, Mohammadi H, Mirhosseini SH, Ameri A, Javadi Z. Evaluation of powdered-activated carbon treatment (PACT) process in textile dye removal. *J Zanjan Univ Med Sci* 2007; 15(61): 59-70. [In Persian].
- Ghanizadeh G, Asgari G. Removal of methylene blue dye from synthetic wastewater with bone char. *Iran J Health Environ* 2009; 2(2): 104-13.
- Nourmoradi H, Zabihollahi S, Pourzamani HR. Removal of a common textile dye, navy blue (NB), from aqueous solutions by combined process of coagulation-flocculation followed by adsorption. *Desalination Water Treat* 2015; 57(11): 5200-11.
- Khaled A, El Nemr A, El-Sikaily A, Abdelwahab O. Removal of Direct N Blue-106 from artificial textile dye effluent using activated carbon from orange peel: adsorption isotherm and kinetic studies. *J Hazard Mater* 2009; 165(1-3): 100-10.
- Bazrafshan E, Kord Mostafapour F, Barikbin B. Decolorization of Reactive Red 198 by means of pistachio-nut shell ash. *J Birjand Univ Med Sci* 2012; 19(3): 266-76. [In Persian].
- Shokouhi R, Hosseinzadeh E, Zare M, Torabi E, Rahimi SH. Sodium alginate magnetic beads for removal of acid cyanine 5r from aqueous solution. *Hormozgan Med J* 2012; 16(2): 101-11. [In Persian].
- Jeni J, Kanmani S. Solar Nanophoto catalytic decolorisation of reactive dyes using titanium dioxide. *Iran J Environ Health Sci Eng* 2012; 8(8): 15-24.
- Amin NK. Removal of direct blue-106 dye from aqueous solution using new activated carbons developed from pomegranate peel: adsorption equilibrium and kinetics. *J Hazard Mater* 2009; 165(1-3): 52-62.
- Shokohi R, Samarghandi M, Pourfarzi F, Shirzad Siboni M, Vahedi H. Removal of Reactive Black 5 (RB5) dye from aquatic solution by using of adsorption on to synthesized sodiumalginate magnetic beads. *Iran J Health Environ* 2011; 4(1): 1-10.
- Khaneian M T, Ghanizadeh G, Gholami M, Ghaderinasab F. Application of eggshell as a natural sorbent for the removal of reactive red 123 dye from synthetic textile wastewater. *Zahedan J Res Med Sci* 2016; 11(4): 25-34.
- Waranusantigul P, Pokethitiyook P, Kruatrachue M, Upatham ES. Kinetics of basic dye (methylene blue) biosorption by giant

- duckweed (*Spirodela polyrrhiza*). Environ Pollut 2003; 125(3): 385-92.
- 15. Paulino AT, Guilherme MR, Reis AV, Campese GM, Muniz EC, Nozaki J. Removal of methylene blue dye from an aqueous media using superabsorbent hydrogel supported on modified polysaccharide. J Colloid Interface Sci 2016; 301(1): 55-62.
  - 16. Song Z, Chen L, Hu J, Richards R. NiO111 nanosheets as efficient and recyclable adsorbents for dye pollutant removal from wastewater. Nanotechnology 2009; 20(27): 275707.
  - 17. Saadatjou N, Rasoulifard Mh, Heydari A. Removal of basic red 46 using low-cost adsorbent of hardened paste of portland cement from contaminated water. Journal of Color Science and Technology 2009; 2(4): 221-6.
  - 18. Rocher V, Bee A, Siaugue JM, Cabuil V. Dye removal from aqueous solution by magnetic alginate beads crosslinked with epichlorohydrin. J Hazard Mater 2010; 178(1-3): 434-9.
  - 19. Azari A, Gholami M, Mokhtari M, Kakavandi B, Ahmadi E, Sattari Tabrizi MA. Cr<sup>6+</sup>removal by activated carbon magnetized with nona zero valent Iron from aqueous solutions: Kinetic, isotherm and thermodynamic study. J Environ Health Sci Eng 2014; 3(1): 14-27.
  - 20. Mahvi AH, Heibati B. Removal efficiency of azo dyes from textile effluent using activated carbon made from walnut wood and determination of isotherms of acid red18. Journal of Health 2010; 1(3): 7-15.
  - 21. Gulnaza O, Sahmurovab A, Kamaa S. Removal of reactive red 198 from aqueous solution by potamogeton crispus. Chem Eng Sci 2011; 174(2-3): 579-85.
  - 22. Aksu Z, Akin AB. Comparison of remazol black B biosorptive properties of live and treated activated sludge. Chem Eng Sci 2010; 165(1): 184-93.

## Evaluation of the Efficiency of Magnetic Iron Oxide Absorbents in the Removal of Navy Blue CE-RN Textile Dyes from Aqueous Solutions

Aboozar Rezaei<sup>1</sup>, Mohammad Kamranifar<sup>2</sup>, Solmaz Zabihollaei<sup>3</sup>, Hadei Rahimi<sup>4</sup>,  
Hamidreza Pourzamani<sup>5</sup>

### Original Article

#### Abstract

**Background:** Textile wastewater is the most important pollutant of the environment. Navy Blue (NB) CE-RN is an important chemical dye widely used in the textile industry. The present study aimed to investigate the removal of NB textile dyes from aqueous solutions using magnetic iron oxide absorbents.

**Methods:** In this study, a sample of synthetic wastewater with NB concentration of 50 mg/l was used. The effect of different variables such as contact time, pH, and adsorbent dose was evaluated. Magnetic iron oxide absorbent was separated from the solution through centrifuging. Dye removal efficiency was evaluated by the color and chemical oxygen demand (COD) concentration of the solution. The size of the magnetic iron oxide absorbent was determined using a Scanning Electron Microscope (SEM).

**Findings:** NB removal was increased from 74% to 80.4% when the contact time was increased from 10 to 210 minutes. The effect of pH variation from acidic to alkaline was investigated and it was found that the highest removal rate was achieved at a pH of 6. With the increasing of absorbent dose from 1 to 4 g/l, the dye removal efficiency was increased from 73.14% to 93.71%. The COD removal of 78.38% occurred in absorption capacity of 11.8 mg/g.

**Conclusion:** The results of the present study showed that maximum absorption was achieved in 210 minutes, pH of 6, and dose of 4 g/l. The magnetic iron oxide absorbent used in this research can be accepted as a method through which a high removal rate of textile NB can be achieved.

**Keywords:** Magnetic absorbent, Dye removal, Aqueous solutions

**Citation:** Rezaei A, Kamranifar M, Zabihollaei S, Rahimi H, Pourzamani H. Evaluation of the Efficiency of Magnetic Iron Oxide Absorbents in the Removal of Navy Blue CE-RN Textile Dyes from Aqueous Solutions. J Health Syst Res 2016; 12(1): 44-9.

1- Student, Student Research Committee, Department of Environmental Health Engineering, School of Health, Isfahan University of Medical Sciences, Isfahan, Iran

2- MSc Student, Department of Environmental Health Engineering, School of Health, Birjand University of Medical Sciences, Birjand, Iran

3- MSc Student, Student Research Committee, Department of Environmental Health Engineering, School of Health, Isfahan University of Medical Sciences, Isfahan, Iran

4- Nano Noavar Company, Isfahan, Iran

5- Associate Professor, Environmental Research Center, Research Institute for Primordial Prevention of Non-communicable Disease AND Department of Environmental Health Engineering, School of Health, Isfahan University of Medical Sciences, Isfahan, Iran

**Corresponding Author:** Hamidreza Pourzamani, Email: pourzamani@hlth.mui.ac.ir